

MIT Bag model

En este modelo los quarks se mueven libremente dentro de una cavidad esférica de paredes ~~infinitas~~ impenetrables por tanto incluye libertad asintótica y confinamiento.

Los quarks u y d tienen una masa de unos MeV, ^(corriente) muy pequeña comparada con la del nucleón, son por tanto relativistas y en este modelo la masa del nucleón procede del confinamiento.

De momento despreciamos la masa de los quarks y su interacción (aparte de la necesaria para formar el hadrón)
El hamiltoniano monoparticulador es (Bogoliubov 67)

$$H = \vec{\alpha} \cdot \vec{p} + \beta M(r)$$

donde $M(r)$ es un potencial escalar, $M(r) = m_0 \theta(r-R)$

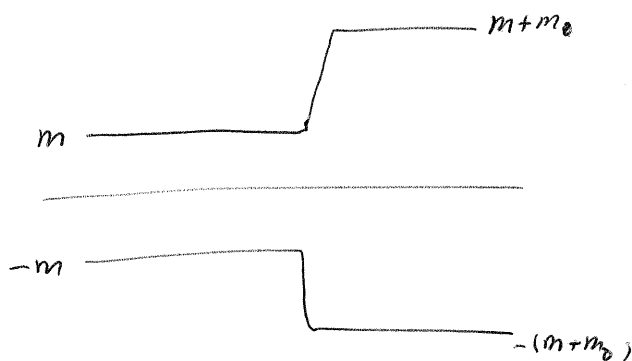
$R =$ radio de confinamiento y $m_0 =$ masa del quark
fuera de la cavidad se hace $m_0 \rightarrow +\infty$ al final (en cuanto se hayan identificado las condiciones de contorno adecuadas)

Un acoplamiento vector, $H = \vec{\alpha} \vec{p} + V(r)$, $V = m_0 \theta(r-R)$
sería fatal al subir los estados de energía negativa

$$\beta = \begin{pmatrix} 1 & -1 \\ 0 & 0 \end{pmatrix}$$

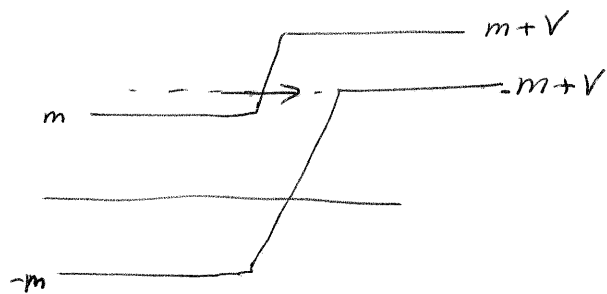
$$\vec{\sigma} = \begin{pmatrix} \sigma_x & \sigma_y \\ 0 & 0 \end{pmatrix}$$

$$H_0 + M(r)\beta$$



acoplamiento escalar

$$H_0 + V(r)$$



acoplamiento vectorial

$$\hat{\pi} \psi(\vec{x}) = \beta \psi(-\vec{x})$$

$$H \text{ conmuta con } \vec{j} = \vec{l} + \frac{\vec{\sigma}}{2} \quad \text{y} \quad K = \beta(\vec{\sigma} \cdot \vec{l} + 1)$$

$$K^2 = \vec{j}^2 + \frac{1}{4} \quad \text{de hecho } K \text{ da informaci3n sobre } j \text{ y } l$$

los estados propios son ψ_K^μ con

$$\vec{j}^2 \psi_K^\mu = j(j+1) \psi_K^\mu, \quad j_z \psi_K^\mu = \mu \psi_K^\mu, \quad K \psi_K^\mu = +K \psi_K^\mu$$

$K = \mp(j + \frac{1}{2})$ segun que para las dos componentes de arriba

$$l = j \pm \frac{1}{2} \quad (\text{y para las de abajo } l = j \mp \frac{1}{2})$$

así para las componentes de arriba $K = +1 \equiv S_{1/2}, \quad K = -1 \equiv P_{1/2}$

$$K = +2 \equiv P_{3/2} \quad \text{etc}$$

Teniendo en cuenta las simetrías $\psi_K^\mu = \begin{pmatrix} \frac{iG(r)}{r} \chi_K^\mu \\ \frac{F(r)}{r} \chi_{-K}^\mu \end{pmatrix}$

$$\text{con } \chi_K^\mu = \frac{K}{|K|} \sum_{m=\pm \frac{1}{2}} C(l \frac{1}{2} j, \mu-m, m, \mu) Y_{l, \mu-m}(\hat{r}) \chi_{\frac{1}{2} m}$$

$$\text{con } \vec{\sigma} \cdot \hat{r} \chi_K^\mu = + \chi_{-K}^\mu$$

$$\text{y } l = j - \frac{1}{2} \frac{K}{|K|}$$

$$\pi = (-1)^l$$

$$\text{si } K > 0 \quad l = j - \frac{1}{2} = K - 1, \quad l' = K$$

$$\text{si } K < 0 \quad l = j + \frac{1}{2} = -K, \quad l' = -K - 1$$

$$\text{entonces caso } l(l+1) = K(K-1)$$

$$l'(l'+1) = K(K+1)$$

sustituyendo en la ecuación de autovalores, resulta

$$(E - M(r)) G(r) = -F'(r) - k \frac{F}{r}$$

$$(E + M) F = G' - k \frac{G}{r}$$

(en el artículo de Thomas $k \rightarrow -k$, $\sigma \hat{r} \chi_k^M \rightarrow -\chi_{-k}^M$,
 $g = i \frac{G}{r}$, $f = i \frac{F}{r}$)

Las condiciones de contorno son Ψ_k^r continua (F, G continuas) y normalizable ($F, G \rightarrow 0, |\vec{x}| \rightarrow +\infty$). Como M no es continua, F' y G' tampoco. Además $F(0) = G(0) = 0$.

Eliminando F con $M' = 0$, se obtiene

$$-G'' + \frac{k(k-1)}{r^2} G = (E^2 - M^2(r)) G \quad \left(\begin{array}{l} \text{idem} \\ -F'' + \frac{k(k+1)}{r^2} F = (E^2 - M^2(r)) F \end{array} \right)$$

análoga a $-u'' + \frac{l(l+1)}{r^2} u = k^2 u \Rightarrow u = r^l e^{rk}, r^l e^{-rk}$

con $l = k-1$ ó $-k$ * y $k^2 = E^2 - M^2$ para G
 $l = k$ $-k-1$ para F

Considero sólo el caso más interesante $k = +1$, $s_{1/2}$ para las componentes de arriba ($p_{1/2}$ para las de abajo)

$$-G'' = (E^2 - M^2) G$$

* la que dé $l \geq 0$

$$G(r) = A \sin(Er) \quad r < R \quad M=0$$

$$G(r) = A \sin(ER) e^{-(m_0^2 - E^2)^{1/2} (r-R)} \quad r > R \quad M=m_0 > E$$

imponiendo continuidad de F en $r=R$, $F = \frac{1}{E+M} (G' - \frac{G}{r})$

$$\frac{A}{E} \left(E \cos(ER) - \frac{\sin(ER)}{R} \right) = \frac{A \sin(ER)}{E+m_0} \left(-\sqrt{m_0^2 - E^2} - \frac{1}{R} \right) \xrightarrow{m_0 \rightarrow +\infty} -A \sin(ER)$$

con $j_0(x) = \frac{\sin x}{x}$, $j_1(x) = \frac{1}{x} \left(\frac{\sin x}{x} - \cos x \right)$

queda $j_0(ER) = j_1(ER)$ $\therefore \frac{G(R)}{R} = -\frac{F(R)}{R}$

(por simetría entre F y G , $\frac{G}{ER} = j_l \Rightarrow \frac{E}{ER} = -j_{l'}$ $\{l, l'\} = \{j \pm \frac{1}{2}\}$
 $l+l' = 2j$)

En función de R , (el único parámetro dimensional ahora) el espectro es $E_{n,k} = \frac{\omega_{n,k}}{R}$, con $\omega_{n,+1}$ los ceros de $j_0(\omega) - j_1(\omega)$. En particular $\omega_{1,1} = 2.04$, $\omega_{2,1} = 5.40, \dots$

$$\psi_{n,1}^r = \frac{N_{n,1}}{\sqrt{4\pi}} \begin{pmatrix} j_0\left(\frac{\omega_{n,1} r}{R}\right) \\ i \vec{\sigma} \cdot \hat{r} j_1\left(\frac{\omega_{n,1} r}{R}\right) \end{pmatrix} \chi_{1/2, \mu} \quad r < R, \quad \psi = 0 \quad r > R$$

(ψ ya no es continuo después de $m_0 \rightarrow \infty$)

con $N_{n,k}$ elegida tal que $\int \psi^\dagger \psi d^3r = 1$

$$N_{n,1}^2 = \frac{\omega_{n,1}^3}{2R^3 (\omega_{n,1} - 1) \sin^2(\omega_{n,1})}$$

$$j_l(\omega_{n,k}) = j_{l'}(\omega_{n,k}) \quad k > 0$$

$$j_l(\omega) = -j_{l'}(\omega) \quad k < 0$$

si se define $n^{\mu} = (0, \hat{r})$, la condición de contorno hallada, $F(R) = -G(R)$ puede escribirse

$$i\alpha\psi = \psi|_S \quad \text{"condición lineal de contorno"}$$

$$\begin{aligned} \text{en efecto } i\alpha\psi|_S &= -i\hat{n}^{\mu}\partial_{\mu}\psi|_S = \begin{pmatrix} 0 & -i\partial_r \\ i\partial_r & 0 \end{pmatrix} \begin{pmatrix} iG/r \\ F/r\partial_r \end{pmatrix} \chi_K^{\mu} = \\ &= \begin{pmatrix} -i\frac{F}{r} \\ -\frac{G}{r}\partial_r \end{pmatrix} \chi_K^{\mu} \Big|_S = \psi|_S \Rightarrow F = -G. \end{aligned}$$

Esta condición vale cuando los quarks están confinados, incluso si su masa no es nula dentro de la cavidad, y es covariante.

Notese que $\psi(\vec{x})$ no es continua en R después de $m_0 \rightarrow +\infty$, y lo mismo $\bar{\psi}(\vec{x}) = \psi^{\dagger}\psi$. En cambio sí lo es $\bar{\psi}\psi$

$$\text{ya que } \bar{\psi}\psi = \chi_K^{\mu\dagger}\chi_K^{\mu} \left(\frac{G^2}{r^2} - \frac{F^2}{r^2} \right) \Big|_S = 0. \text{ De hecho esto}$$

es una consecuencia de la condición lineal de contorno (que vale incluso en el caso no estático, no esférico etc):

$$\bar{\psi}\psi|_S = \bar{\psi} i\alpha\psi|_S = (\bar{\psi} i\alpha\psi)_S^{\dagger} = -\bar{\psi} i\alpha\psi|_S = 0 \Rightarrow \hat{n}^{\mu} \rightarrow 0$$

$$\text{De acuerdo con este modelo } M_N = \frac{3\omega_{11}}{R} \Rightarrow R = 1.3 \text{ fm}$$

$$M_{N^*} = \frac{2\omega_{11} + \omega_{12}}{R} = 1.55 M_N \text{ (suponiendo el mismo } R \text{)}$$

casualmente da muy bien con el experimento.

En este modelo de Bogoliousov, R es un parámetro. Esto tiene el problema de que no conserva energía-momento. En efecto, el lagrangiano es

$$\mathcal{L}(x) = g(\bar{\psi} i \overleftrightarrow{\partial} \psi) \theta_V - \frac{1}{2} \bar{\psi} \psi \Delta_S, \quad \overleftrightarrow{\partial}_\mu \equiv \frac{1}{2}(\overrightarrow{\partial}_\mu - \overleftarrow{\partial}_\mu)$$

(para una cavidad esférica estática $\theta_V = \theta(R-r)$),

$$\overleftrightarrow{\partial}_\mu \theta_V = n_\mu \Delta_S \quad \Delta_S = -n \cdot \partial \theta_V (= \delta(r-R))$$

(n_μ unitario $n^2=1$ y ortogonal a la superficie de la cavidad)

El último término es una especie de término de masa en ∂V y proporciona la c.l.c.:

$$\begin{aligned} 0 &= \partial_\mu \frac{\partial \mathcal{L}}{\partial (\partial_\mu \psi)} - \frac{\partial \mathcal{L}}{\partial \psi} = -\frac{i}{2} \overleftrightarrow{\partial} \psi \theta_V + \frac{1}{2} \psi \Delta_S + \partial_\mu \left(-\frac{i}{2} \gamma^\mu \psi \theta_V \right) \\ &= -i \overleftrightarrow{\partial} \psi \theta_V + \frac{1}{2} \psi \Delta_S - \frac{i}{2} \not{n} \psi \Delta_S \end{aligned}$$

Para este lagrangiano que depende explícitamente de x

$$\partial_\mu T^{\mu\nu} = -\frac{\partial \mathcal{L}}{\partial x^\nu} = -\bar{\psi} i \overleftrightarrow{\partial} \psi n_\nu \Delta_S + \frac{1}{2} \bar{\psi} \psi \partial_\nu \Delta_S = -\frac{1}{2} (\partial_\nu (\bar{\psi} \psi)) \Delta_S$$

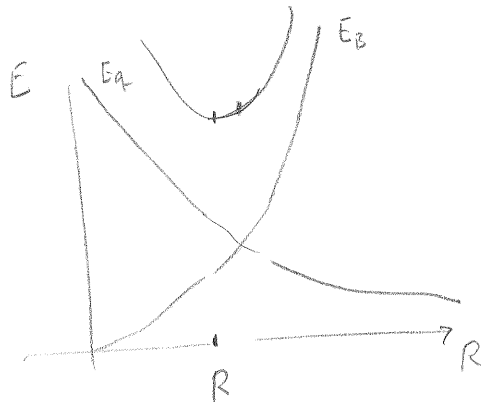
y el momento no se conserva localmente. Esto proviene de que

el gas de quarks ejerce una presión sobre las paredes de la cavidad que tendería a aumentar el tamaño (también se ve de $E = \frac{w}{R}$ que decrece si $R \uparrow$). Una forma de restaurar la conservación de momento o equilibrar la presión es tener en cuenta lo que cuesta energéticamente aumentar R . En el modelo de MIT se introduce un parámetro B que representa

vacío no perturbatio

$$\frac{E}{V} = -B$$

Vacío
perturbatio
 $\frac{E}{V} = 0$



$$2m^2 - 2(E - E')$$

$$2m^2 - 2(E - E')$$

$$2m^2 - 2p^2$$

la diferencia entre la densidad de energía del vacío perturbativo (\equiv el de dentro de la cavidad) y el no perturbativo (el de fuera) que es más estable. Es decir

$$\mathcal{L}_{MIT} = \bar{\psi} i \overleftrightarrow{\not{D}} \psi \theta_V - \frac{1}{2} \bar{\psi} \psi \Delta_S - B \theta_V$$

$$\partial_\mu T_{MIT}^{\mu\nu} = -\frac{\partial \mathcal{L}}{\partial x^\nu} = -\frac{1}{2} \partial_\nu (\bar{\psi} \psi) \Delta_S + n \mu B \Delta_S$$

se anula si $\boxed{B = -\frac{1}{2} n \mu \partial_\nu (\bar{\psi} \psi)}$ llamada condición

de contorno no lineal. En este modelo R deja de ser un parámetro sino que la cavidad se ajusta de modo que esté en equilibrio y B es un parámetro universal. Ej.

$$E_N(R) = \frac{3 w_{11}}{R} + \frac{4\pi}{3} R^3 B$$

se puede demostrar que la c.n.l.c. equivale a $\frac{dE(R)}{dR} = 0$.

Espectroscopía de hadrones ligeros

$$E(R) = \frac{1}{R} \sum_i w_i + \frac{4\pi}{3} B R^3$$

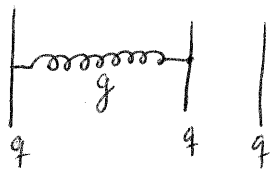
$$\frac{dE}{dR} = 0 \Rightarrow R^4 = \frac{\sum w_i}{4\pi B}, \quad E(R) = \frac{4}{3} \frac{\sum w_i}{R} = \frac{4}{3} (\sum w_i)^{3/4} (4\pi B)^{1/4}$$

$$\text{si } w_i = w_{11}, \quad E = \frac{M_N + M_\Delta}{2} \Rightarrow B = (113 \text{ MeV})^4 = 21 \text{ MeV fm}^{-3}$$

$$R_N \approx 1.46 \text{ fm}$$

Estructura hiperfina:

Tal y como está el modelo, $N (J = \frac{1}{2}, I = \frac{1}{2})$ y $\Delta (\frac{3}{2}, \frac{3}{2})$ están degenerados. Exp. $M_\Delta - M_N \approx 300 \text{ MeV}$. En este modelo se da cuenta de este efecto a través de la interacción de intercambio de un gluón, es decir en ^{el orden más bajo} ~~primer orden~~ perturbativo (estamos en la zona de α_c pequeño)



En esta aproximación los gluones no tienen autointeracción y se comportan como 8 fotones. Se trata de

$$\text{calcular } \Delta E_g = \alpha_c \sum_{a=1}^{\infty} \frac{1}{2} \int_V d\vec{x} (\vec{E}^a{}^2 + \vec{B}^a{}^2) - \int \vec{j}^a \vec{A}^a d\vec{x}$$

sujeo a las ecuaciones de Maxwell y las condiciones de contorno de la cavidad:

$$\hat{n} \times \vec{B}^a = 0, \quad \hat{n} \cdot \vec{E}^a = 0 \quad \text{o} \quad n_\mu F_a^{\mu\nu} = 0$$

que implican $n_\mu j_a^\mu = n_\mu \partial_\nu F_a^{\mu\nu} = -(\partial_\nu n_\mu) F_a^{\mu\nu} = 0$ ($\partial_i \hat{n}_j$ es antisimétrico)

y no hay flujo de color fuera del saco.

El resultado es $\Delta E_g = \frac{\lambda \alpha_c}{R} \sum_{i < j} M(m_i, m_j; R) \vec{\sigma}_i \cdot \vec{\sigma}_j$ $m_i = \text{masas de los } q$

$\lambda = 1$ para bariones y $\lambda = 2$ para mesones, $M(\)$ función conocida y positiva

$$(\vec{\sigma}_i \cdot \vec{\sigma}_j)_{s=1} = +1, \quad (\vec{\sigma}_i \cdot \vec{\sigma}_j)_{s=0} = -3$$

En la Δ todos los pares de quarks están en triplete $(\uparrow\uparrow\uparrow)$, en el nucleón $(\uparrow\downarrow)_0, \uparrow$ no, $\Rightarrow M_\Delta > M_N$ permite ajustar α_c .

~~130~~ $\rightarrow 2$
 J_1, J_3, π

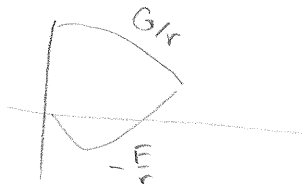
$$\hat{H} \psi(\vec{x}) = \beta \psi(-\vec{x})$$

$j \leftarrow \begin{matrix} l \\ l' \end{matrix}$

$$l_{\pm} = j \pm \frac{1}{2}$$

$$\pi = (-1)^l = -(-1)^{l'}$$

$$l'_{\pm} = j \mp \frac{1}{2}$$



$$\frac{G}{ER} = j_l(ER)$$

$$\frac{F}{ER} = -j_{l'}(ER)$$

$$E(m, R) = \frac{1}{R} \sqrt{x^2 + (mR)^2} \quad \equiv \quad \frac{\omega}{R} \quad \leftarrow \text{numero}$$

$$\tan x = \frac{x}{1 - mR - \sqrt{x^2 + (mR)^2}}$$

notas $E \rightarrow \frac{x}{R} + m$
 $m \rightarrow \infty$

$$\text{masa} \quad E(m, R) = \frac{1}{R} \sqrt{x^2 + (mR)^2} \equiv \frac{W}{R} \quad (\text{masa } W \text{ dep de } mR)$$

$$\text{tg } x = \frac{x}{1 - mR + \sqrt{x^2 + (mR)^2}}$$

Si no restringimos a hadrones no extraños, las correcciones de masa finita de los quarks u y d son muy pequeñas (excepto para el pión). Otras correcciones son

- Energía de punto cero de los gluones. Al cuantizar el campo de gluones, E_0 , la energía del vacío, diverge ^{UV}, pero tiene términos finitos dependientes de R debido a las condiciones de contorno. ^(Efecto Casimir) La corrección se parametriza como $\frac{Z_0}{R}$.

- Corrección de centro de masas. En este modelo el c.m. se está moviendo lo cual da una contribución ficticia a la masa del hadrón:

$$E^2(R) \approx \langle \vec{P}_{cm}^2 \rangle + M^2(R), \Rightarrow E(R) \approx M(R) + \frac{\langle \vec{P}_{cm}^2 \rangle}{2M(R)}$$

$$\approx M(R) + \frac{\sum_i \langle P_i^2 \rangle}{2M(R)}, \quad \text{como } \langle P_i^2 \rangle = \frac{W_i^2}{R^2}$$

$$E_N(R) \approx M_N(R) + \frac{3W^2}{2MR^2} = M_R + \frac{3}{8} \frac{W}{R} \quad (\text{usando } E = \frac{4W}{R} \approx M)$$

$$\Delta E_{cm} \approx -\frac{3}{8} \frac{W}{R}$$

Es una corrección importante para los R usuales, $\Delta E \approx -\frac{3}{8} \frac{M}{4}$

y se incluye en Z_0 en el ajuste.

También es importante a la hora de contar hadrones posibles ya que algunos que se han naivamente corresponden a excitaciones del c.m. y no existen físicamente.

En resumen, se ajusta

$$M(R) = \sum_i \frac{w_i}{R} + \frac{4\pi}{3} B R^3 + \Delta E_g - \frac{Z}{R}$$

con $(m_s) B$, α_c y Z como parámetros universales.

R se determina para cada barión con $\frac{dM}{dR} = 0$

Un ajuste de m_K , m_N , m_Δ , m_ω

proporciona $B^{1/4} = 0.146 \text{ MeV}$, $Z = 1.84$, $\alpha_c = 0.55$, $m_s = 280 \text{ MeV}$

Las masas salen más o menos bien.

Otras propiedades hadrónicas

- Radio de carga

$$\rho(\vec{r}) = \sum_i q_i^+ q_i^-(\vec{r}),$$

$q_i(\vec{r}) =$ función de onda del campo de quark i
 $Q_i =$ carga del quark i (en unidades de la del protón)

$$\langle r^2 \rangle_q = \sum_i Q_i \int d^3r q_i^+ q_i^- r^2$$

para el protón $\langle r^2 \rangle_{q,p} = (N_{1,1}^2 R^3) \int_0^1 dx x^4 (j_0^2(w_{11}x) + j_1^2(w_{11}x)) R^2$

con $R_p = 1 \text{ fm}$ $\langle r^2 \rangle_{q,p}^{1/2} = 0.73 \text{ fm}$, exp. 0.82 fm

Para neutrón $\langle r^2 \rangle_{q,n} = 0$, exp. -0.116 fm^2

$\langle r^2 \rangle_{q,n} = 0$ indep. de los parámetros usados. En un modelo

quiral $\left[\begin{array}{c} n \\ + \\ p \\ - \\ n \end{array} \right] \pi^+ \dots$ y $\langle r^2 \rangle < 0$.

$$\left[\begin{array}{c} n \\ + \\ p \\ - \\ n \end{array} \right] \pi^+$$

alumenta $\langle r^2 \rangle_{q,p}$ bueno.

- Momento magnético

Con acoplamiento mínimo $H = \vec{\alpha} \cdot (\vec{p} - e\vec{A}) + V + \beta m$

$$\vec{A} = \frac{1}{2} \vec{r} \times \vec{B} \quad (\vec{B} \text{ cto}), \quad H_B = -e\vec{\alpha} \cdot \frac{1}{2} \vec{r} \times \vec{B} = \vec{\mu} \cdot \vec{B}$$

con $\vec{\mu} = \frac{1}{2} e\vec{\alpha} \times \vec{\alpha} = \frac{1}{2} \vec{r} \times \vec{j}$

Es un ejercicio comprobar que para $k=+1$

$$\vec{\mu} = \langle \uparrow \frac{1}{2} \vec{r} \times \vec{j} \rangle = \mu_0 \langle \sum_{i=1}^3 \vec{\sigma}_i Q_i \rangle$$

con $\mu_0 = e \frac{4\omega - 3}{\omega(\omega - 1)} \frac{R}{12} = \frac{2.43}{12} (2m_N R) \mu_N, \quad \mu_N \equiv \frac{e}{2m_N}$
 \uparrow
 $n=1$

y $\mu_p = \langle p \uparrow | \vec{\mu}_z | p \uparrow \rangle = \mu_0$

$$\mu_n = \langle n \uparrow | \mu_z | n \uparrow \rangle = -\frac{2}{3} \mu_0$$

$\frac{\mu_n}{\mu_p} = -\frac{2}{3}$ compara bien con el exp. -0.685

pero el valor absoluto de μ_p no sale bien, $2.0 \mu_N$, frente al exp. $2.80 \mu_N$ para $R=1. \text{fm}$ del ajuste a las masas

De nuevo se arregla en el caso general (CBM).

$|p \uparrow\rangle = \frac{1}{\sqrt{2}} (\psi' x' + \psi'' x'')$ $\psi' = \frac{1}{\sqrt{2}} (d_{uu} - u_{du}) = 1.99 \cdot 10^{-2} \cdot \frac{1}{2}$

$\psi'' = -\sqrt{\frac{2}{3}} (u_{ud} - \frac{1}{2} u_{du} - \frac{1}{2} d_{uu})$

$|n \uparrow\rangle$ idem con $u \rightarrow d$
 $R(\vec{e}_z, -\pi) \quad d \rightarrow -u$

idem x', x''

$|p \uparrow\rangle$ y $|n \uparrow\rangle$ completamente simétricos bajo $u \leftrightarrow d$ - intercambio

$$iD_\mu = i\partial_\mu + qA_\mu$$

$$iD + q\vec{A}$$

$$-iD - q\vec{A}$$

$$\frac{2}{3}\sigma_1 + \frac{2}{3}\sigma_2 - \frac{1}{3}\sigma_3$$

$$\frac{2}{3} \times 2 - \frac{1}{3} \times 1 = \frac{5}{3}$$

$$\frac{1}{\sqrt{3}} \begin{pmatrix} u^\dagger u^\dagger d^\dagger - u^\dagger u^\dagger d^\dagger \\ u^\dagger (u^\dagger d^\dagger - u^\dagger d^\dagger) \end{pmatrix} |0\rangle = |p \uparrow\rangle = \frac{\sqrt{2}}{\sqrt{3}} \frac{u^\dagger u^\dagger d^\dagger}{\sqrt{2}} - \frac{1}{\sqrt{3}} u^\dagger u^\dagger d^\dagger |0\rangle$$

$$\frac{1}{\sqrt{3}} d^\dagger (u^\dagger d^\dagger - u^\dagger d^\dagger) |0\rangle = |n \uparrow\rangle$$

$$\frac{1}{\sqrt{3}} |u^\dagger, d^\dagger, d^\dagger\rangle - \frac{\sqrt{2}}{\sqrt{3}} |u^\dagger, d^\dagger\rangle$$

$$\mu_0 \sum_{\alpha, \beta} \langle \alpha | \sigma_3 | \beta \rangle q_\alpha^\dagger q_\beta$$

$$= \mu_0 \sum_{\alpha} (\sigma_3 \alpha)_\alpha q_\alpha^\dagger q_\alpha$$

$$\mu_0 \left(\frac{1}{\sqrt{3}} \right)^2 \left(2 \left(\frac{2}{3} + \frac{2}{3} + \frac{1}{3} \right) + \frac{2}{3} + \left(\frac{2}{3} \right) + \left(-\frac{1}{3} \right) \right) = \mu_p = 3\mu_0$$

$$\mu_0 \left(\frac{2}{\sqrt{3}} \left(2 \times \frac{2}{3} + \frac{1}{3} \right) + \frac{1}{3} \left(\frac{2}{3} - \frac{2}{3} - \frac{1}{3} \right) \right) = \mu_0$$

$$\mu_n = \mu_0 \left(\frac{1}{3} \left(\frac{2}{3} + \frac{1}{3} - \frac{1}{3} \right) + \frac{2}{3} \left(-\frac{2}{3} + 2 \left(-\frac{1}{3} \right) \right) \right) = -\frac{6}{9} = -\frac{2}{3}$$

$$\langle 0 | q \phi q^\dagger q \quad q^\dagger q | 0 \rangle$$

$$\frac{1}{\sqrt{3}} \left(\begin{pmatrix} \frac{2}{3} & 2 \\ \frac{1}{3} & \end{pmatrix} u^\dagger u^\dagger d^\dagger - \begin{pmatrix} \frac{2}{3} & -\frac{2}{3} & -\frac{1}{3} \end{pmatrix} u^\dagger u^\dagger d^\dagger \right) | 0 \rangle$$

$$\langle 11 \rangle = \frac{1}{\sqrt{3}} \frac{1}{\sqrt{3}} \left(\left(\frac{2}{3} + \frac{2}{3} + \frac{1}{3} \right)^2 + \left(\frac{2}{3} - \frac{2}{3} - \frac{1}{3} \right)^2 \right) =$$

$$= \frac{1}{3} \left(2 \cdot \frac{5}{3} + 1 \cdot \frac{1}{3} \right) = 1$$

$$| p^\dagger \rangle = \left(\sqrt{\frac{2}{3}} \frac{u^\dagger u^\dagger d^\dagger}{\sqrt{2}} - \sqrt{\frac{1}{3}} u^\dagger u^\dagger d^\dagger \right) | 0 \rangle$$

$$\langle 11 | 1n \rangle = \frac{1}{\sqrt{3}} \frac{1}{\sqrt{3}} \left(\left(-\frac{1}{3} - \frac{1}{3} - \frac{2}{3} \right)^2 + \left(-\frac{1}{3} + \frac{1}{3} + \frac{2}{3} \right)^2 \right) = -\frac{2}{3}$$

- corriente axial

El hamiltoniano (efectivo) débil es del tipo

$$H_W = \frac{G}{2} J^\mu J_\mu^\dagger, \quad G = 10^{-5} m_p^{-2}$$

$$y \quad J^\mu = J_h^\mu + J_l^\mu$$

$$J_e^\alpha = \bar{\nu}_e \gamma^\alpha (1 - \gamma_5) e + \bar{\nu}_\mu \gamma^\alpha (1 - \gamma_5) \mu = V_l^\alpha - A_l^\alpha$$



~~despreciando el ángulo de Cabibbo~~ Análogamente

$$J_h^\alpha = V_h^\alpha - A_h^\alpha$$

si se desprecia el ángulo de Cabibbo $V_h^\mu = \bar{u} \gamma^\mu d$, $A_h^\mu = \bar{u} \gamma^\mu \gamma_5 d$

es decir $V_h^\mu = \bar{q} \gamma^\mu z_+ q$, $V_h^{\dagger\mu} = \bar{q} \gamma^\mu z_- q$, i'dem A

z_3 está relacionado con la corriente eléctrica, $Q = \frac{1}{2} + \frac{1}{2} z_3$

$$\vec{V}^\mu = \bar{q} \gamma^\mu \frac{\vec{z}}{2} q, \quad \vec{A}^\mu = \bar{q} \gamma^\mu \gamma_5 \frac{\vec{z}}{2} q, \quad q = \begin{pmatrix} u \\ d \end{pmatrix}$$

llamados corrientes vectorial y axial respectivamente. (con inversores)

En la práctica aparece

$$\langle p | \vec{V}^0 | n \rangle = g_V \langle p | \frac{\vec{z}}{2} | n \rangle$$

$$\langle p | \vec{A}^i | n \rangle = g_A \langle p | \sigma^i \frac{\vec{z}}{2} | n \rangle$$

p, n en reposo y en el mismo estado de espín

(Wigner-Eckart)

exp. $g_V = 1, \quad g_A = 1.24$

(M₁₁) de conf. simple
con sual a vector)

$$\vec{V}^\mu = \sum_{i=1}^3 \left(\frac{\gamma^\mu}{2} \right)_i$$

en el modelo de MIT g_V y g_A son calculables con

$$\vec{V}^\mu = \sum_{i=1}^3 \bar{q}_i \gamma^\mu \frac{\vec{C}}{2} q_i, \quad \vec{A}^\mu = \sum_{i=1}^3 \bar{q}_i \gamma^\mu \gamma_5 \frac{\vec{C}}{2} q_i$$

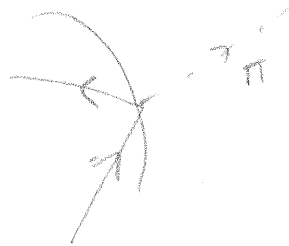
y la función de onda del nucleón de espín-isospín

Resulta $g_V = 1$, lo cual ocurre en cualquier teoría que conserve isospín.

$$g_A \langle p | \vec{A}^k | n \rangle = \frac{w}{3(w-1)} \langle p | \sum_{i=1}^3 \sigma_i^k \frac{\vec{C}}{2} | n \rangle_{\substack{\text{spin} \\ \text{sabor}}} = \frac{5w}{3 \cdot 3(w-1)} \langle p | \sigma^k \frac{\vec{C}}{2} | n \rangle$$

$$g_A = \frac{5}{3} \frac{w}{3(w-1)} = 1.09 \quad \text{que no está mal } (g_A^{NR} = \frac{5}{3}).$$

PCAC



Chiral bag model